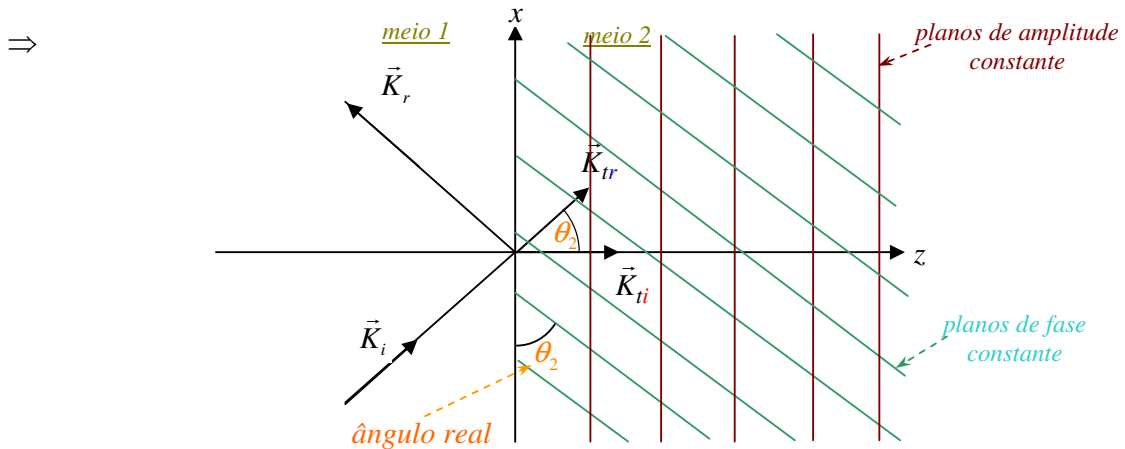


Eletrromagnetismo II – 1º Semestre de 2007

Noturno - Prof. Alvaro Vannucci

17ª aula – 08/mai/2007

- Vimos: Incidência Oblíqua, interface dielétrico/condutor.



- Vimos: $\vec{\tilde{K}} = \vec{K}_{tr} + \vec{K}_{ti} = \vec{K}_{2r} + \vec{K}_{2i}$; sendo que
$$\begin{cases} K_{2r} = \frac{\omega}{c} \sqrt{p^2 + n_1^2 \sin^2 \theta_i} \\ K_{2i} = \frac{\omega}{c} q \end{cases};$$

p e $q \equiv$ constantes óticas generalizadas

- Quando $\theta_i = 0 \Rightarrow p \rightarrow n$ e $q \rightarrow n_*$.

$$\begin{cases} p \rightarrow n \\ q \rightarrow n_* \end{cases}; \tilde{n} = n + i n_*$$

- Chamando $N = \sqrt{p^2 + n_1^2 \sin^2 \theta_i} \equiv$ Espécie de Índice de Refração Real:

$$\begin{cases} \text{i) Lei de Snell: } n_1 \sin \theta_i = \tilde{n}_2 \sin \tilde{\theta}_2 \\ \text{ii) } K_{2r} = \frac{N\omega}{c} \text{ e } p = N \cos \theta_2 \end{cases} \Rightarrow n_1 \sin \theta_i = N \sin \theta_2 \quad (1)$$

"Versão Real" de Lei de Snell

- Exemplo: No caso de Bons Condutores: $n \sim n_* \sim \sqrt{\frac{\epsilon_{Ri}}{2}}$; $\left(\epsilon_{Ri} = \frac{\sigma}{\omega \epsilon_0} \right) \Rightarrow$

⇒ sendo σ muito grande (bons condutores) ⇒ $p \sim q$ também são muito grandes.

- Portanto N é muito grande ⇒ Lei de Snell (eq. 1) ⇒ $\sin \theta_2$ é muito pequeno. Ou seja, para um certo valor de θ_i , ⇒ $\theta_2 \sim 0$.

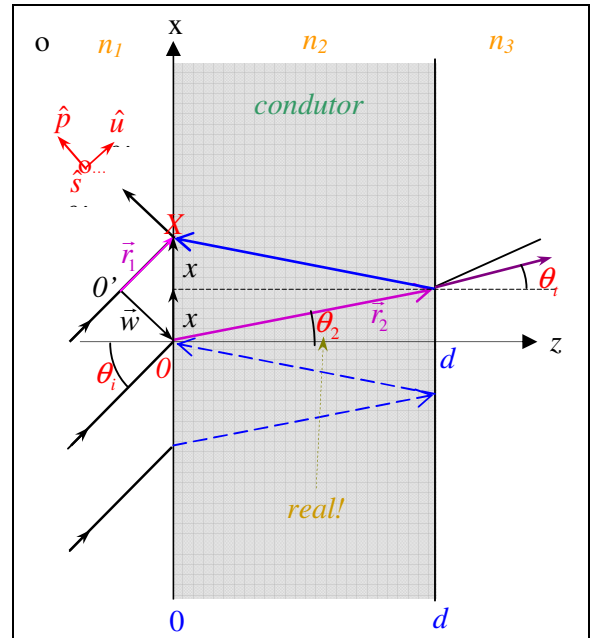
- Isto significa que a direção de propagação da onda em um bom condutor é praticamente \perp à interface, não importando muito o ângulo de incidência.

- Assim, a “*Profundidade de Atenuação*” já definida para incidência normal é uma boa aproximação *para qualquer* θ_i (no caso de bons condutores):

$$\delta = \frac{1}{K_i} = \frac{c}{n_s \omega} = \sqrt{\frac{2}{\mu \omega \sigma}}$$

Reflexão e Transmissão por Camadas Delgadas

- Considere duas interfaces planas, paralelas e infinitas. Vamos resolver este sistema a partir de resultados já obtidos, supondo *meio n_2 condutor*.
- Idéia básica: Considerar onda incidente na 1ª interface **parcialmente refletida e transmitida**; o mesmo ocorrendo na 2ª interface.
- Então, a onda agora refletida na 2ª interface retorna à primeira, onde mais uma vez é parcialmente refletida/transmitida.
- Como os Coeficientes Fresnel fornecem as frações dos campos das ondas refletida e transmitida em cada interface, vamos usá-los na soma das diferentes contribuições para a reflexão de volta ao meio 1 (e a transmissão para o meio 3).
- Deve-se notar, neste processo, que as somas devem levar em conta as amplitudes (Coeficientes de Fresnel) e as diferentes fases das ondas (devido à possibilidade de interferência).



- Na Figura, dois raios incidentes e paralelos atingem simultaneamente os pontos 0 e X .
- No ponto X , raio refletido (para o meio 1) interage com raio refratado (vindo do meio 2) e os dois se somam.
- Para avaliarmos a diferença de fase entre eles, devemos calcular a *diferença de percurso* envolvendo as duas ondas, ao atingirem o ponto X .
- Ou seja, a diferente fase será $\tilde{\beta} = 2\tilde{K}_2 \cdot \vec{r}_2 - \vec{K}_1 \cdot \vec{r}_1$; e quero escrever isto em termos das coordenadas (x, y, z) .

No 2º trecho, \vec{K}_2 e \vec{r}_2 mudam igualmente de direções!

- Decompondo $\vec{r}_2 = x\hat{e}_x + d\hat{e}_z$; enquanto que para decompor \vec{r}_1 vou fazer isto em termos de base $(\hat{p}, \hat{s}, \hat{u})$ - ver figura - pois, isto irá facilitar nos cálculos. Vamos então supor ondas incidentes na direção de \hat{u} .

- Portanto \vec{r}_1 será a soma dos vetores: $\vec{r}_1 = \vec{w} + 2\vec{x} = w(-\hat{p}) + 2x\hat{e}_x$

$$\therefore 2\tilde{K}_2 \cdot \vec{r}_2 - \vec{K}_1 \cdot \vec{r}_1 = 2(x\tilde{K}_2 \cdot \hat{e}_x + d\tilde{K}_2 \cdot \hat{e}_z) - (-w\tilde{K}_1 \cdot \hat{p} + 2x\tilde{K}_1 \cdot \hat{e}_x)$$

$\hat{p} \perp \hat{u}$ $\hat{p} \perp \hat{s}$ $\hat{p} \perp \hat{u}$ $\hat{p} \perp \hat{s}$ $\hat{p} \perp \hat{u}$ $\hat{p} \perp \hat{s}$

- De forma que a **diferença de fase**: $\tilde{\beta} = 2x(\underbrace{\tilde{K}_2 \cdot \hat{e}_x}_{//} - \underbrace{\tilde{K}_1 \cdot \hat{e}_x}_{K_1 \sin \theta_i}) + 2d \underbrace{\tilde{K}_2 \cdot \hat{e}_z}_{\tilde{K}_2 \cos \theta_2}$

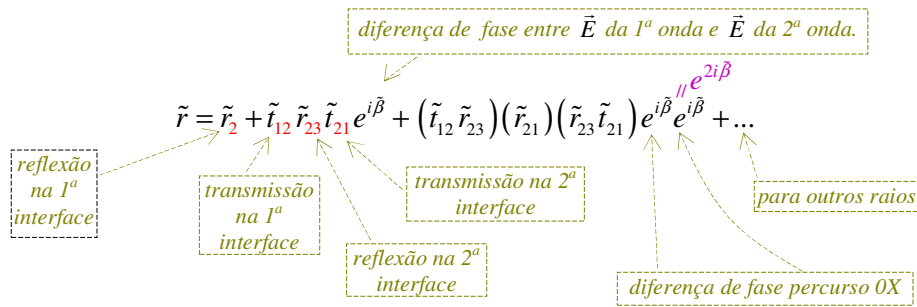
$$\begin{array}{c} \tilde{K}_2 \sin \tilde{\theta}_2 \\ // \\ \text{(Lei de Snell)} \\ // \\ K_1 \sin \theta_i \end{array}$$

Sendo que: i) $\tilde{K}_2 = \frac{\tilde{n}_2 \omega}{c}$
 ii) \tilde{K}_2 e $\tilde{\theta}_2$ não podem ser representados geometricamente na figura.

Portanto: $\tilde{\beta} = 2d \frac{\omega}{c} \tilde{n}_2 \cos \tilde{\theta}_2$ (1)

Mas, da aula passada: $\tilde{n}_2 \cos \tilde{\theta}_2 = p + iq \Rightarrow \tilde{\beta} = \frac{2d\omega}{c} (p + iq)$ (2)

- Vamos agora somar todas as contribuições, das várias ondas incidentes, relacionado ao Coeficiente Reflexão \hat{r} da onda no meio 1, usando os Coeficientes de Fresnel em cada interface e considerando os vários desvios de fase $\tilde{\beta}$.
- Certamente, teremos componentes *s* e *p* de polarização da onda, que deverão ser tratadas separadamente; sendo que para cada uma delas vale:



Assim: $\tilde{r} = \tilde{r}_{12} + \tilde{t}_{12} \tilde{r}_{23} \tilde{t}_{21} e^{i\tilde{\beta}} \left[1 + (\tilde{r}_{21} \tilde{r}_{23} e^{i\tilde{\beta}}) + (\tilde{r}_{21} \tilde{r}_{23} e^{i\tilde{\beta}})^2 + \dots \right]$

Mas: $1 + \xi + \xi^2 + \dots \equiv$ expansão de Taylor da expressão $\frac{1}{1-\xi}$ (1+x)ⁿ
 $\xi = \tilde{r}_{21} \tilde{r}_{23} e^{i\tilde{\beta}}$

Então: $\tilde{r} = \tilde{r}_{12} + \frac{\tilde{t}_{12} \tilde{r}_{23} \tilde{t}_{21} e^{i\tilde{\beta}}}{1 - \underbrace{\tilde{r}_{21} \tilde{r}_{23} e^{i\tilde{\beta}}}_{(\xi)}} = \frac{\tilde{r}_{12} - \tilde{r}_{12} \tilde{r}_{21} \tilde{r}_{23} e^{i\tilde{\beta}} + \tilde{t}_{12} \tilde{t}_{21} \tilde{r}_{23} e^{i\tilde{\beta}}}{1 - \tilde{r}_{21} \tilde{r}_{23} e^{i\tilde{\beta}}} \Rightarrow \tilde{r} = \frac{\tilde{r}_{12} + \tilde{r}_{23} (\tilde{t}_{12} \tilde{t}_{21} - \tilde{r}_{12} \tilde{r}_{21}) e^{i\tilde{\beta}}}{1 - \tilde{r}_{21} \tilde{r}_{23} e^{i\tilde{\beta}}}$

Agora, usando $\begin{cases} \tilde{r}_{12} = -\tilde{r}_{21} \\ \tilde{r}_{12}^2 + \tilde{t}_{12} \tilde{t}_{21} = 1 \end{cases} \Rightarrow \tilde{r} = \frac{\tilde{r}_{12} + \tilde{r}_{23} e^{i\tilde{\beta}}}{1 + \tilde{r}_{12} \tilde{r}_{23} e^{i\tilde{\beta}}}$ (3) ; e para \tilde{t} : $\tilde{t} = \frac{\tilde{t}_{12} \tilde{t}_{23} e^{i\tilde{\beta}/2}}{1 + \tilde{r}_{12} \tilde{r}_{23} e^{i\tilde{\beta}}}$ (4)

mesma equação para as duas componentes, \perp e $//$; e a diferença de fase é a mesma.

- Para o cálculo da Refletância (meio 1) e Transmitância (meio 3):

$$\begin{cases} R = \tilde{r} \tilde{r}^* \\ T = \frac{n_3 \cos \theta_t}{n_1 \cos \theta_i} \tilde{t} \tilde{t}^* \end{cases} ; \left(t = \frac{E_{0t}}{E_{0i}} \right) \text{ (na 1ª interface)}$$

- Na situação em que a Camada Delgada corresponde a um meio dielétrico: $R + T = 1$
- Porém, se o meio for condutor: $R + T + A = 1$, já que haverá energia absorvida/dissipada por aquecimento Joule.

- Expressar R e T em termos de n e n^* (ou p e q) resulta em equações bastante complexas, que servem para determinar experimentalmente as correntes óticas n e n^* dos condutores.
- Na verdade, computadores são necessários para resolver n e n^* a partir dos valores de R e T .
- No entanto, podemos estimar estes valores considerando que T é proporcional ao produto $\tilde{t} \tilde{t}^*$ apenas, que por sua vez é proporcional a $e^{i\tilde{\beta}/2} e^{-i\tilde{\beta}^*/2}$:

$$T \propto \tilde{t} \tilde{t}^* \propto e^{i\tilde{\beta}/2} e^{-i\tilde{\beta}^*/2}; \tilde{\beta} = (\text{eq.2}) = \frac{2d\omega}{c}(p+iq) \Rightarrow T \propto e^{\frac{i2d\omega}{c}(\cancel{p}+iq-\cancel{p}+iq)} \Rightarrow T \propto e^{\frac{-2d\omega q}{c}} \quad (5)$$

- Para Incidência Normal, vimos que $q \rightarrow n^* \Rightarrow$ lembrando também da expressão do Coefficiente de Profundidade:

$$\delta = \frac{c}{n^* \omega} \Rightarrow T \propto e^{-2d/\delta}$$

- Em particular, se o meio 1 for ar: $\lambda_1 = \frac{c}{f} = \frac{2\pi c}{\omega} \Rightarrow \frac{\omega}{c} = \frac{2\pi}{\lambda_1}$

- Então, da eq. (5): $T \propto e^{\frac{-4\pi n_* d}{\lambda_1}}$ \rightarrow (para lâmina condutora em ar, incidência normal) \rightarrow $\left(\begin{matrix} 7800 \text{ \AA} \rightarrow 3800 \text{ \AA} \\ \text{vermelho} \quad \text{violeta} \end{matrix} \right)$

- Em filmes metálicos, $n_* \sim 2$ por exemplo, supondo luz $\lambda_1 \sim 5000 \text{ \AA}$, podemos avaliar qual a espessura da lâmina para que haja Transmissão apreciável de luz.

- Por exemplo, para que ocorra transmissão de 1% da radiação incidente:

$$e^{\frac{-4\pi n_* d}{\lambda_1}} \sim 0,01 \Rightarrow d \sim 10^{-7} m \quad (d \sim 1000 \text{ \AA}).$$

- Quanto à Refletância:

$$\begin{aligned} R = \tilde{r} \tilde{r}^* &= \frac{(\tilde{r}_{12} + \tilde{r}_{23} e^{i\tilde{\beta}})(\tilde{r}_{12}^* + \tilde{r}_{23}^* e^{-i\tilde{\beta}^*})}{(1 + \tilde{r}_{12} \tilde{r}_{23} e^{i\tilde{\beta}})(1 + \tilde{r}_{12}^* \tilde{r}_{23}^* e^{-i\tilde{\beta}^*})} = \\ &= \frac{\tilde{r}_{12} \tilde{r}_{12}^* + \tilde{r}_{12} \tilde{r}_{23}^* e^{-i\tilde{\beta}^*} + \tilde{r}_{23} \tilde{r}_{12}^* e^{i\tilde{\beta}} + \tilde{r}_{23} \tilde{r}_{23}^* e^{\frac{-4d\omega q}{c}}}{1 + \tilde{r}_{12}^* \tilde{r}_{23}^* e^{-i\tilde{\beta}^*} + \tilde{r}_{12} \tilde{r}_{23} e^{i\tilde{\beta}} + \tilde{r}_{12} \tilde{r}_{12}^* \tilde{r}_{23} \tilde{r}_{23}^* e^{\frac{-4d\omega q}{c}}} \end{aligned}$$

; pois: $e^{i\tilde{\beta}} e^{-i\tilde{\beta}^*} = e^{\frac{2d\omega}{c}(\cancel{p}-q-\cancel{p}-q)}$
 $\left\{ \tilde{\beta} = \frac{2d\omega}{c}(p+iq) \right\}$

- Em particular, para meios Não-Condutores (dielétricos): $n_* = q = 0 \Rightarrow$

$$\Rightarrow R = \frac{\tilde{r}_{12}\tilde{r}_{12}^* + \tilde{r}_{12}\tilde{r}_{23}^*e^{-i\tilde{\beta}} + \tilde{r}_{23}\tilde{r}_{12}^*e^{i\tilde{\beta}} + \tilde{r}_{23}\tilde{r}_{23}^*e^0}{1 + \tilde{r}_{12}^*\tilde{r}_{23}^*e^{-i\tilde{\beta}} + \tilde{r}_{12}\tilde{r}_{23}e^{i\tilde{\beta}} + \tilde{r}_{12}\tilde{r}_{12}^*\tilde{r}_{23}\tilde{r}_{23}^*e^0}$$

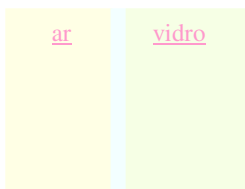
- Sendo que:
$$\begin{cases} i) \tilde{\beta} = \beta = \frac{2d\omega}{c} p = \frac{2d\omega}{c} n_2 \\ ii) \begin{cases} \tilde{r}_{12} \rightarrow r_{12} \\ \tilde{r}_{23} \rightarrow r_{23} \end{cases} \text{ (retornando para o caso de dielétricos)} \end{cases}$$

- Agora, usando (ii) na equação da Refletância acima:

$$R = \frac{r_{12}^2 + r_{23}^2 + r_{12}r_{23}(\cos\beta - i\sin\beta + \cos\beta + i\sin\beta)}{1 + r_{12}^2r_{23}^2 + r_{12}r_{23}(\cos\beta - i\sin\beta + \cos\beta + i\sin\beta)} \Rightarrow R_{\text{película dielétrica}} = \frac{r_{12}^2 + r_{23}^2 + 2r_{12}r_{23}\cos\beta}{1 + r_{12}^2r_{23}^2 + 2r_{12}r_{23}\cos\beta} \quad (6)$$

- E quando Incidência for Normal:
$$\begin{cases} r_{12} = \frac{n_1 - n_2}{n_1 + n_2} \\ r_{23} = \frac{n_2 - n_3}{n_2 + n_3} \end{cases}$$

- Exemplo: Supor Incidência Normal em uma fina camada de um *revestimento plástico* ($n_2 = 1,3$) depositada em cima de *vidro* ($n_3 = 1,5$), sendo *meio 1* \equiv *ar* ($n_1 = 1$).



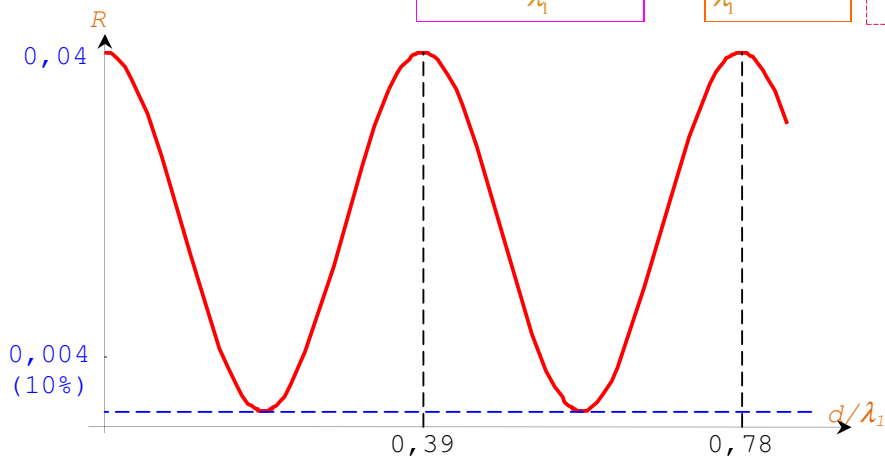
$$\left. \begin{aligned} r_{12}^2 &= \left(\frac{1-1,3}{1+1,3}\right)^2 = 0,017 \\ r_{23}^2 &= \left(\frac{1,3-1,5}{1,3+1,5}\right)^2 = 0,005 \end{aligned} \right\} \Rightarrow R = \frac{0,022 + 0,0186\cos\beta}{1,0001 + 0,0186\cos\beta}$$

- Sendo que $\beta = 2d n_2 \left(\frac{\omega}{c}\right) \parallel \frac{2\pi}{\lambda_1} \Rightarrow \beta = 4\pi n_2 \left(\frac{d}{\lambda_1}\right) = 16,3 \frac{d}{\lambda_1}$

- Substituindo este resultado na equação (6):
$$\begin{cases} R_{\max} (\cos\beta = 1) = \frac{0,0407}{1,0187} = 0,04 \\ R_{\min} (\cos\beta = -1) = \frac{3,6 \cdot 10^{-3}}{0,982} = 0,004 \end{cases};$$

(ver apêndice)

sendo que valores de máximo ocorrem para $\beta = 16,3 \frac{d}{\lambda_1} = 2m\pi \Rightarrow \frac{d}{\lambda_1} = 0,39m$ (e múltiplos inteiros deste valor)



- Note que R (total, resultante) *pode ser menor* que refletância que ocorreria apenas na 1ª interface! ($r_{12}^2 = 0,017$) \Rightarrow devido Interferência Destrutiva.
- Pergunta: Os valores de mínimo de R , para valores apropriados de d/λ_1 (dada espessura d , R é mínimo para um certo λ_1), haverá alguma situação em que este mínimo será zero?
- Resposta: Sim, caso se utilize material de revestimento tal que $n_2 = \sqrt{n_1 n_3}$ (mostre!).
- Este efeito é útil para se ter lentes (câmeras, óculos, etc) com refletância nula (para λ_1 no centro do espectro visível), ou quase nula.
- Em bolhas de sabão, manchas de óleo no asfalto, por exemplo, a espessura d da película não é uniforme \Rightarrow Máximos e Mínimos da Refletância ocorrem para valores diferentes de λ_1 . Por isso as diversas cores observadas!

APÊNDICE

- Refletância: $R = \frac{a + b \cos \beta}{c + b \cos \beta} \Rightarrow$ os valores de máximo e mínimo de R em função de β serão:

$$\frac{dR}{d\beta} = \frac{(-b \sin \beta)(c + b \cos \beta) - (a + b \cos \beta)(-b \sin \beta)}{(c + b \cos \beta)^2} = 0 \Rightarrow$$

$$\Rightarrow -bc \sin \beta - \cancel{b^2 \sin \beta} \cos \beta + ab \sin \beta + \cancel{b^2 \sin \beta} \cos \beta = 0 \Rightarrow$$

$$\Rightarrow (ab - bc) \sin \beta = 0 \Rightarrow \sin \beta = 0 \Rightarrow \boxed{\cos \beta = \pm 1}$$

usando estes resultados temos os valores de máximo e mínimo de R .
 substituindo $\Rightarrow \begin{cases} -1 \rightarrow \text{mínimos} \\ +1 \rightarrow \text{máximos} \end{cases}$